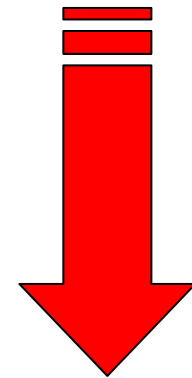
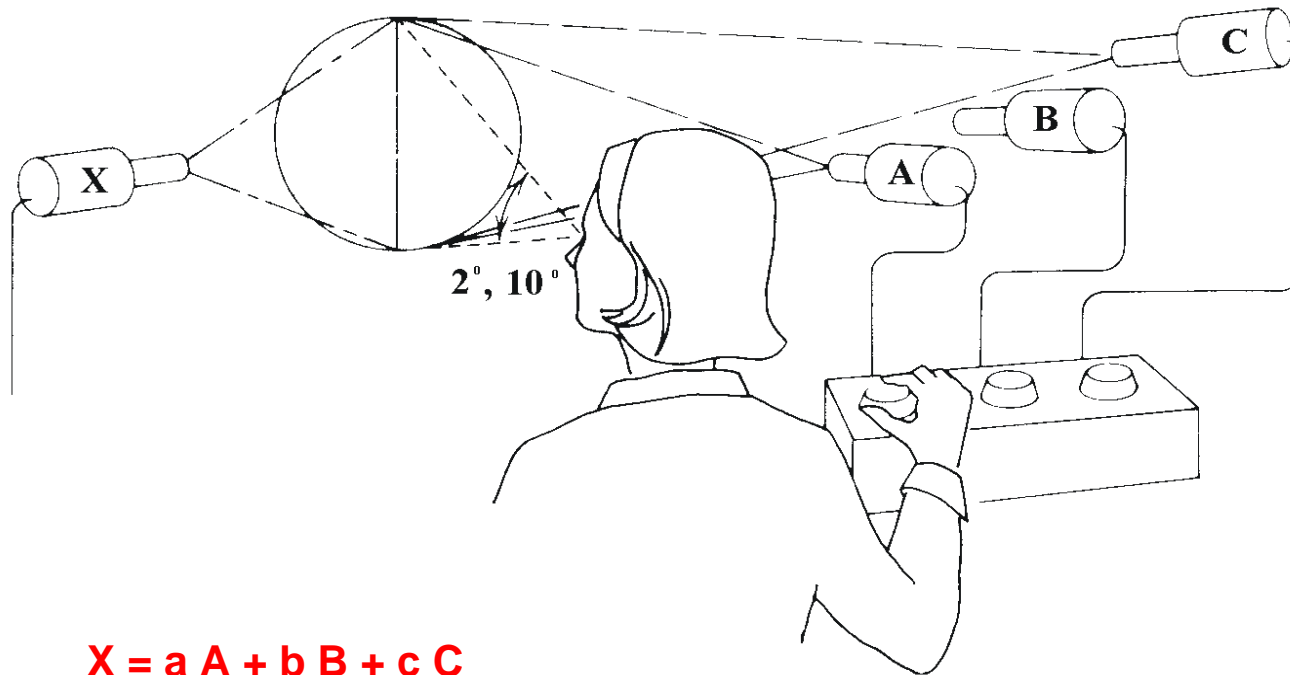


- Luminosità
- Colore (Hue)
- Saturazione



In qualsiasi sistema colorimetrico un colore è definito da una terna di numeri

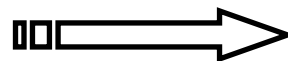
Principio di sovrapposizione



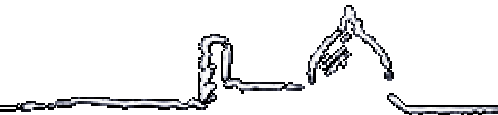
$$X = a A + b B + c C$$

Significato dei coefficienti negativi

$$X + a A = b B + c C$$



$$X = -a A + b B + c C$$





$P(\lambda)$ (Spectral Power Distribution)



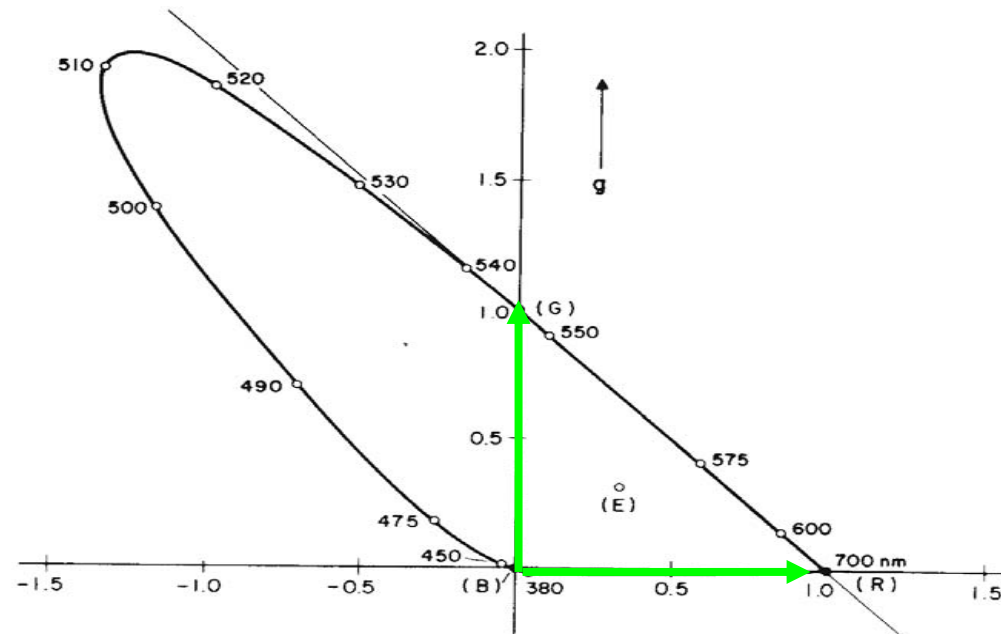
$$R = \int_{\lambda=380}^{\lambda=700} P(\lambda) \bar{r}(\lambda) d\lambda = \sum_i P_{\lambda_i} \bar{r}_{\lambda_i}$$

$$G = \int_{\lambda=380}^{\lambda=700} P(\lambda) \bar{g}(\lambda) d\lambda = \sum_i P_{\lambda_i} \bar{g}_{\lambda_i}$$

$$B = \int_{\lambda=380}^{\lambda=700} P(\lambda) \bar{b}(\lambda) d\lambda = \sum_i P_{\lambda_i} \bar{b}_{\lambda_i}$$

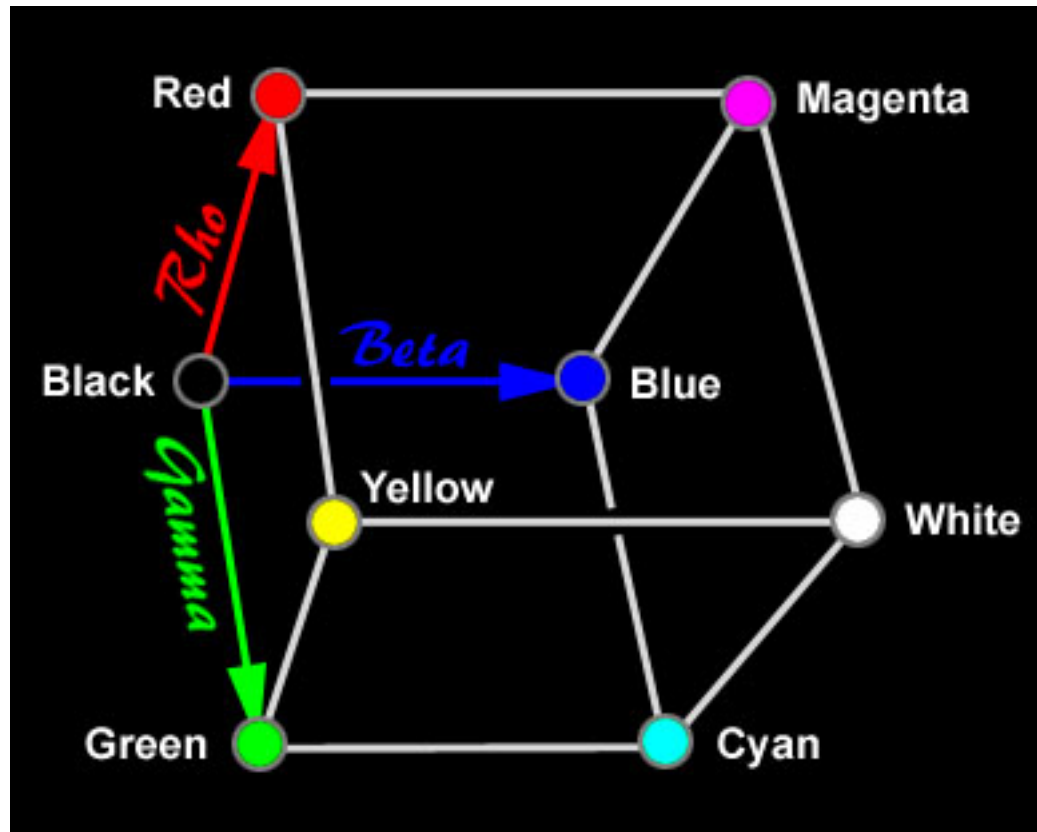
CIE 1931 Sistema (R,G,B)

$$r = \frac{R}{R+G+B} \quad g = \frac{G}{R+G+B} \quad b = \frac{B}{R+G+B} \quad r+g+b=1$$

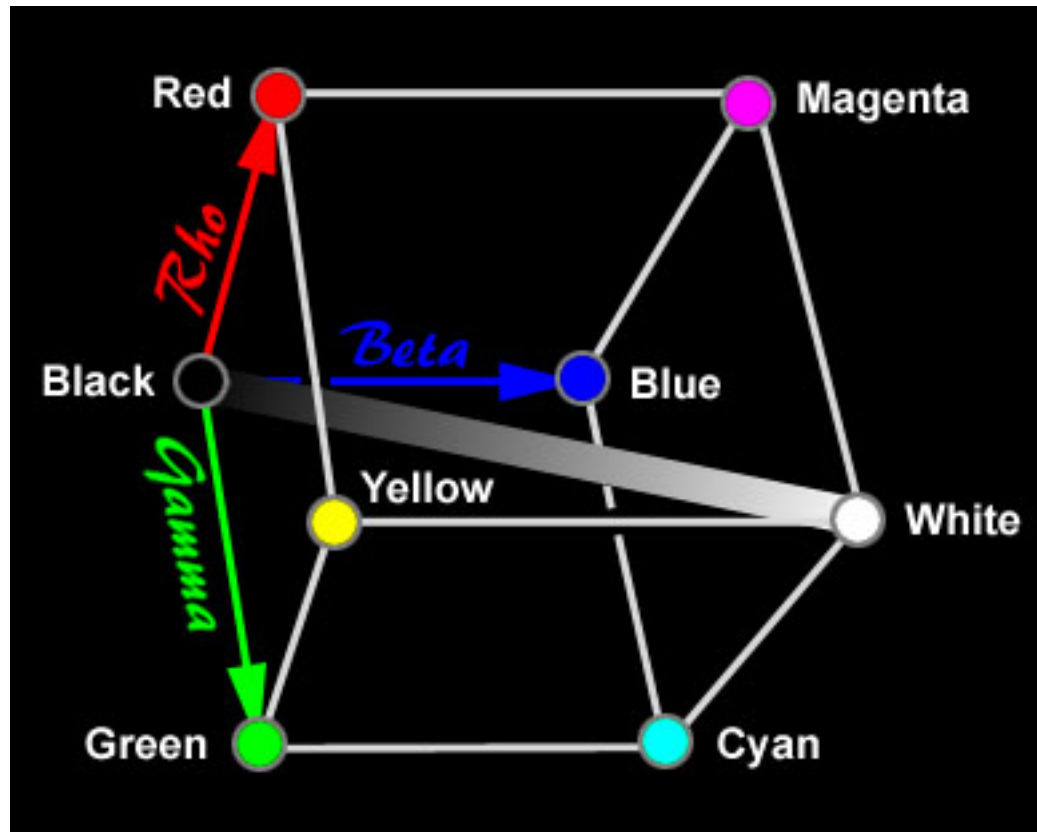


Colore \longrightarrow r, g, R

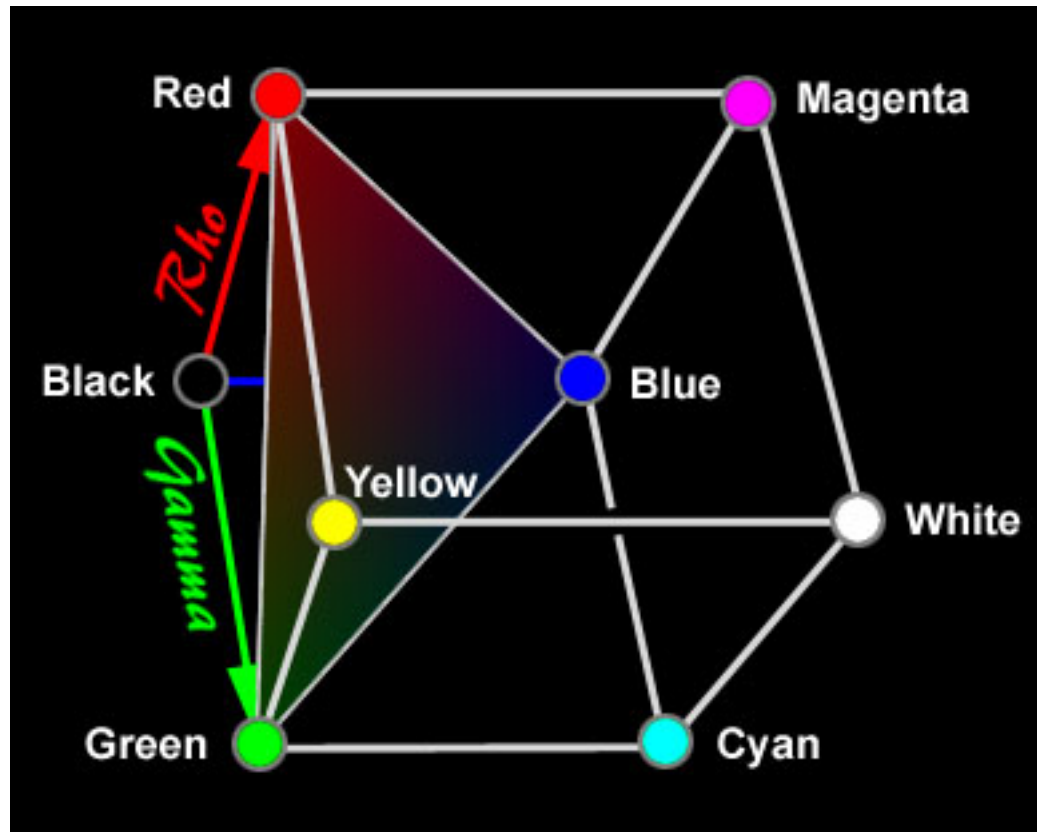
Cubo dei colori



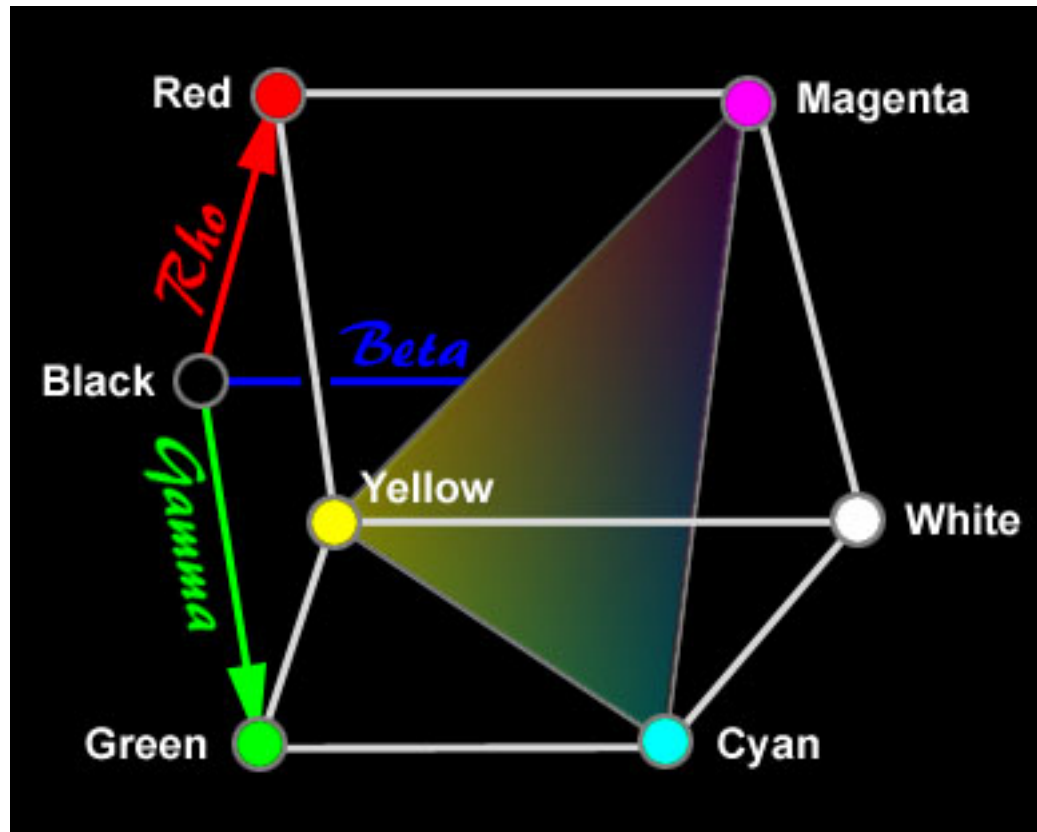
Cubo dei colori



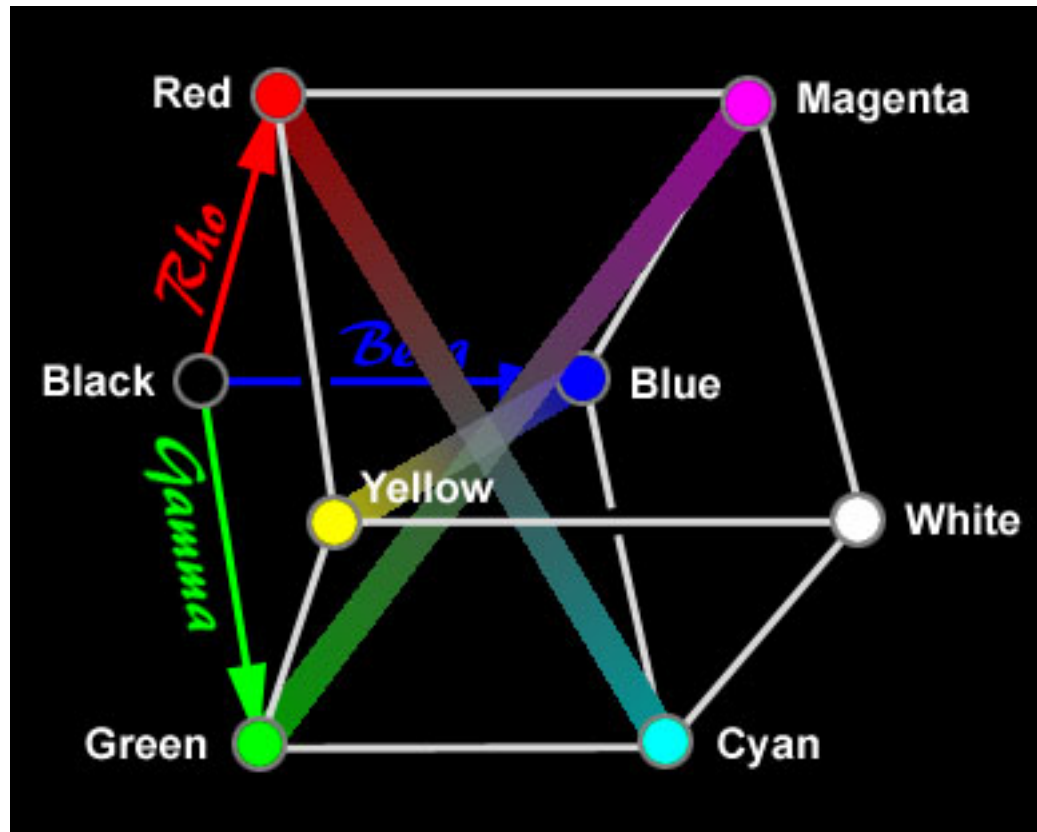
Cubo dei colori



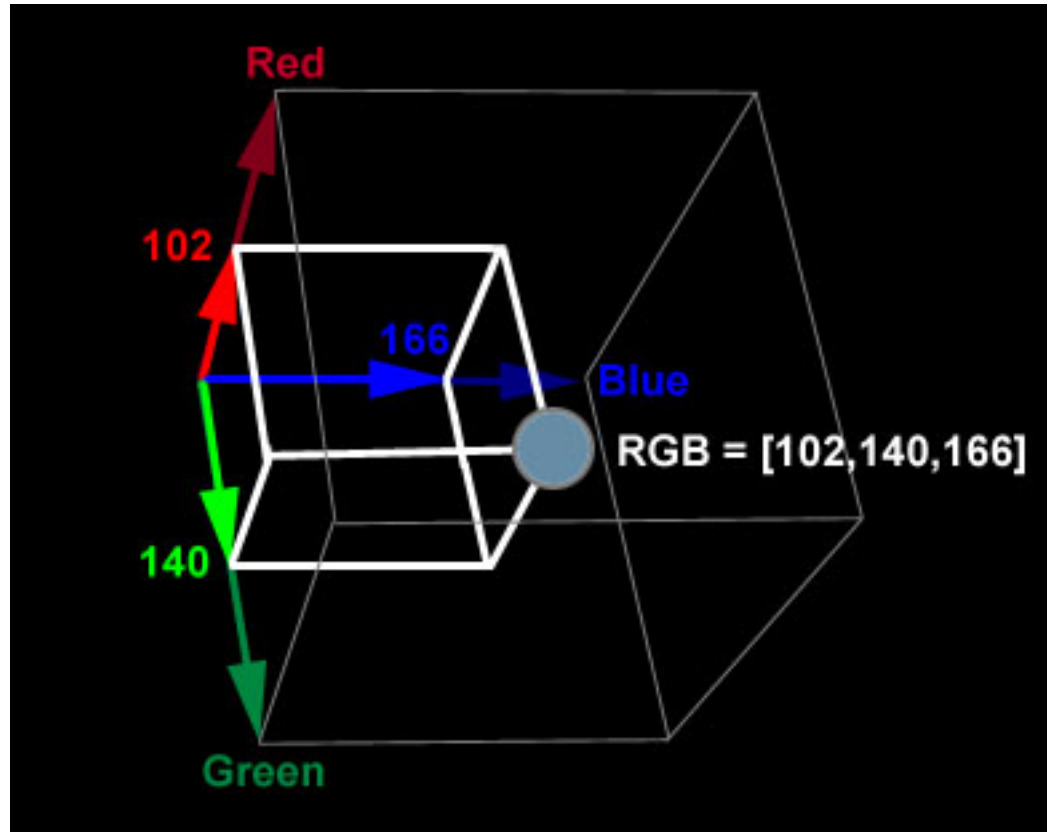
Cubo dei colori



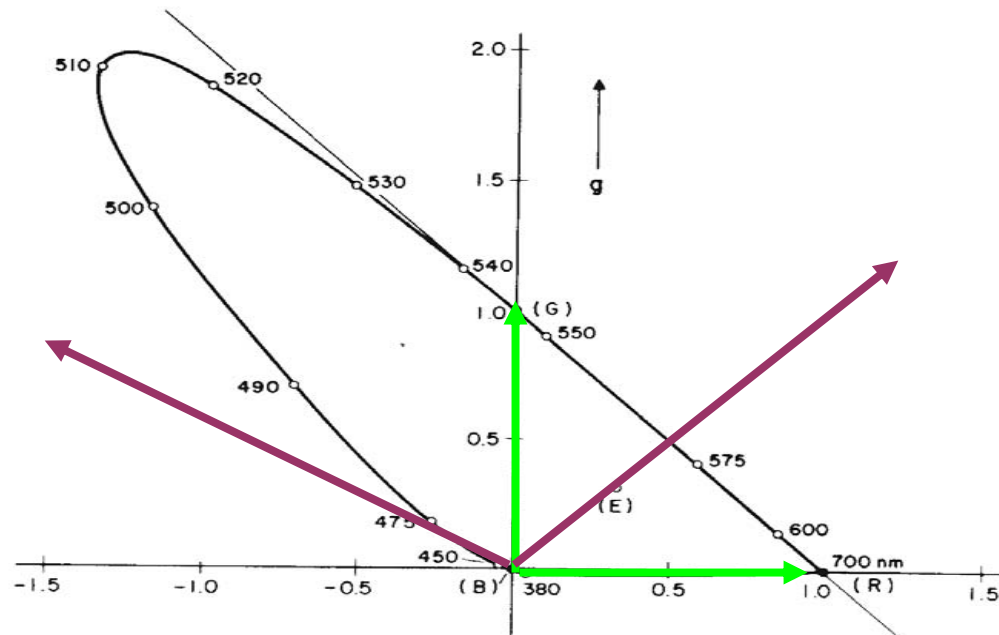
Cubo dei colori



Cubo dei colori



CIE 1931 Sistema (R,G,B) → CIE 1931 Sistema (X,Y,Z)





Colore: vettore nello spazio lineare tridimensionale di base (**R**, **G**, **B**)

$$(\mathbf{R}, \mathbf{G}, \mathbf{B}) \quad \Rightarrow \quad (\mathbf{X}, \mathbf{Y}, \mathbf{Z})$$

$$X = a_{11} R + a_{12} G + a_{13} B$$

$$Y = a_{21} R + a_{22} G + a_{23} B$$

$$Z = a_{31} R + a_{32} G + a_{33} B$$

$$X = 0.49000 R + 0.31000 G + 0.20000 B$$

$$Y = 0.17697 R + 0.81240 G + 0.01063 B$$

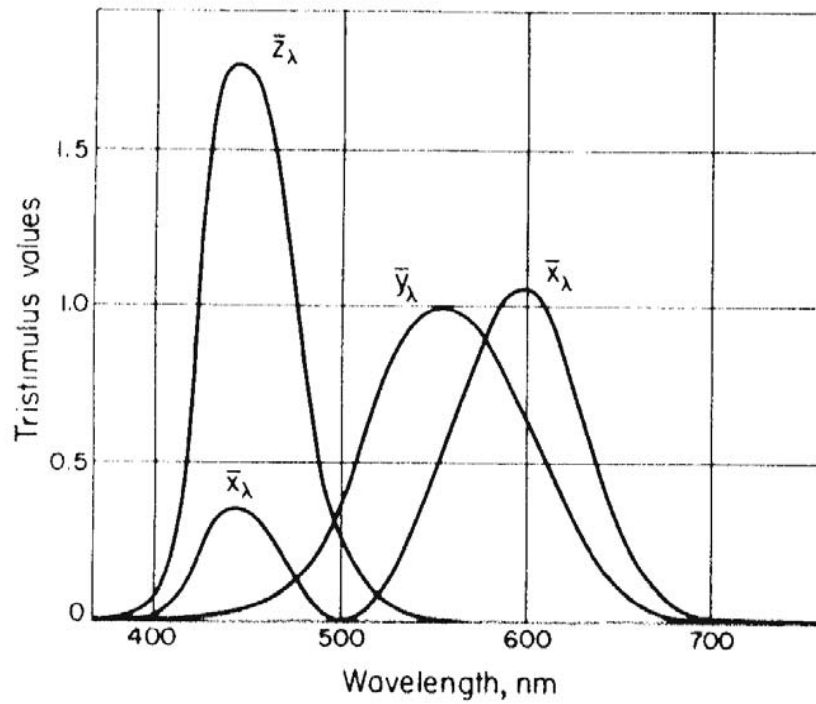
$$Z = 0.00000 R + 0.01000 G + 0.99000 B$$

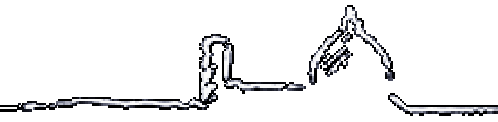
1) In questa base qualsiasi colore, ovvero qualsiasi punto del *locus* dei colori è identificato da tre coordinate positive.

2) La scelta dei coefficienti della coordinate Y è tale che $Y(\lambda)$ si identifica esattamente con la curva di sensibilità diurna (**fotopica**)



$$\bar{r}(\lambda), \bar{g}(\lambda), \bar{b}(\lambda) \rightarrow \bar{x}(\lambda), \bar{y}(\lambda), \bar{z}(\lambda)$$





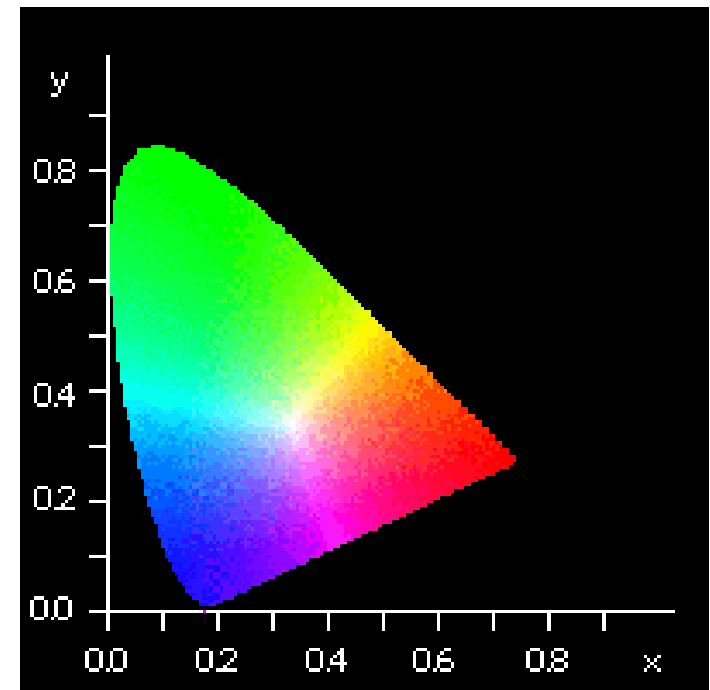
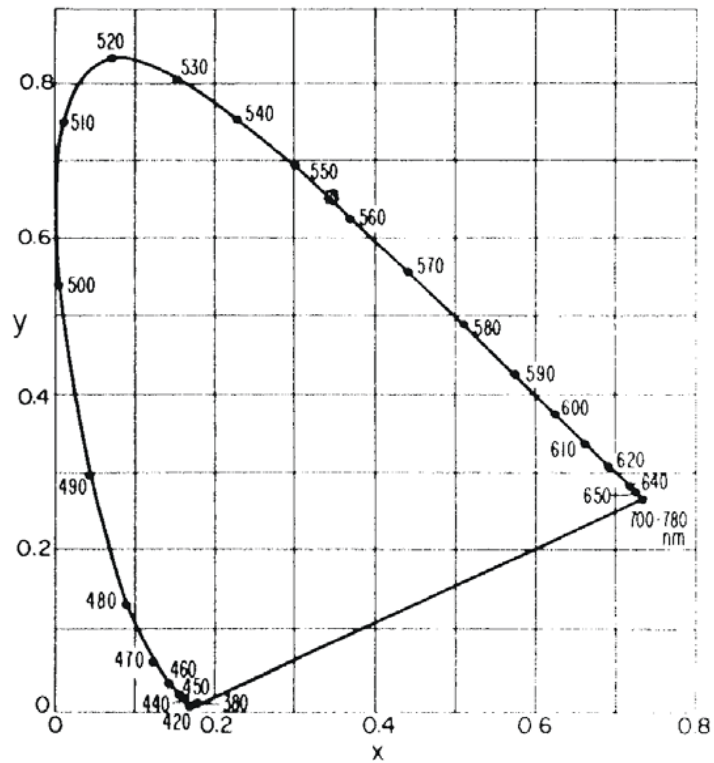
$P(\lambda)$ (Spectral Power Distribution)

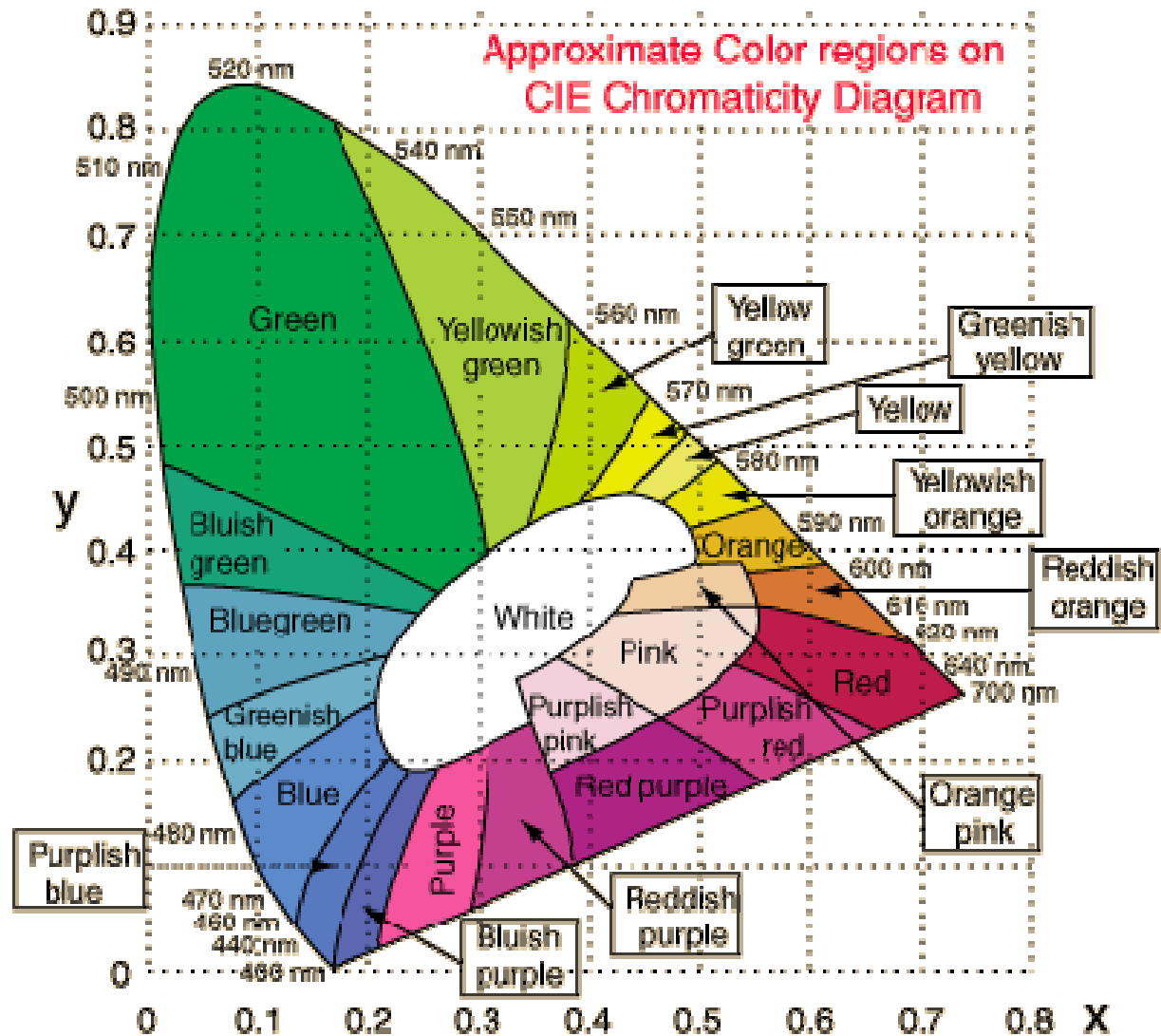


$$\begin{aligned} X &= \int_{\lambda=380}^{\lambda=700} P(\lambda) \bar{x}(\lambda) d\lambda = \sum_i P_{\lambda_i} \bar{x}_{\lambda_i} \\ Y &= \int_{\lambda=380}^{\lambda=700} P(\lambda) \bar{y}(\lambda) d\lambda = \sum_i P_{\lambda_i} \bar{y}_{\lambda_i} \\ Z &= \int_{\lambda=380}^{\lambda=700} P(\lambda) \bar{z}(\lambda) d\lambda = \sum_i P_{\lambda_i} \bar{z}_{\lambda_i} \end{aligned}$$

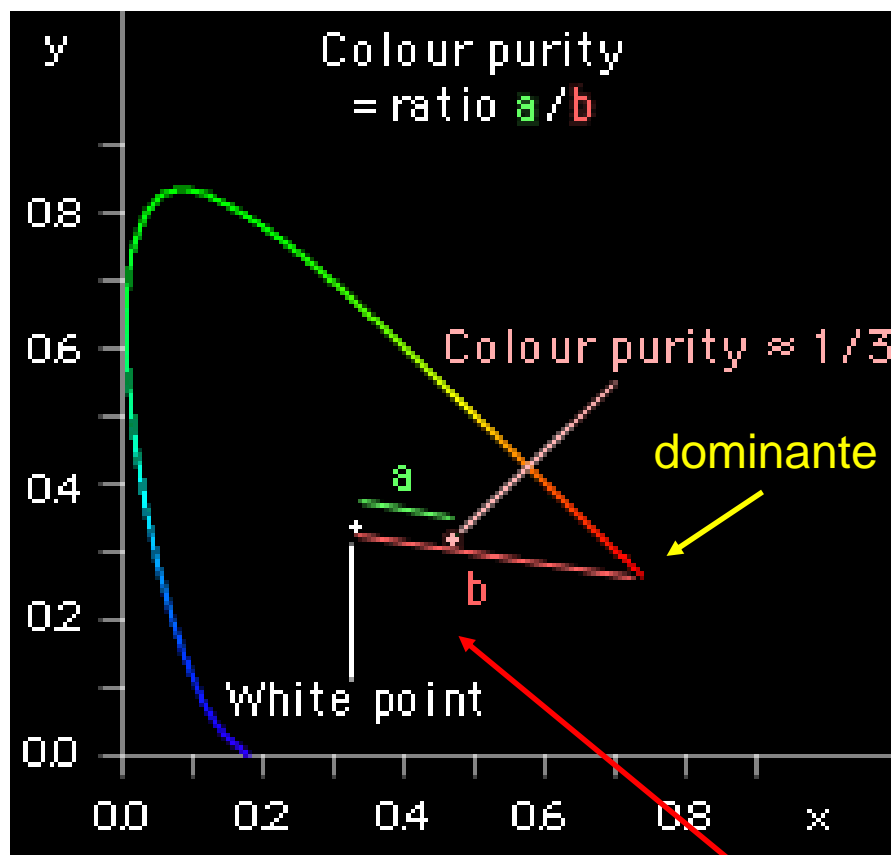
CIE 1931 Sistema (X,Y,Z)

$$x = \frac{X}{X+Y+Z} \quad y = \frac{Y}{X+Y+Z} \quad z = \frac{Z}{X+Y+Z} \quad x + y + z = 1$$



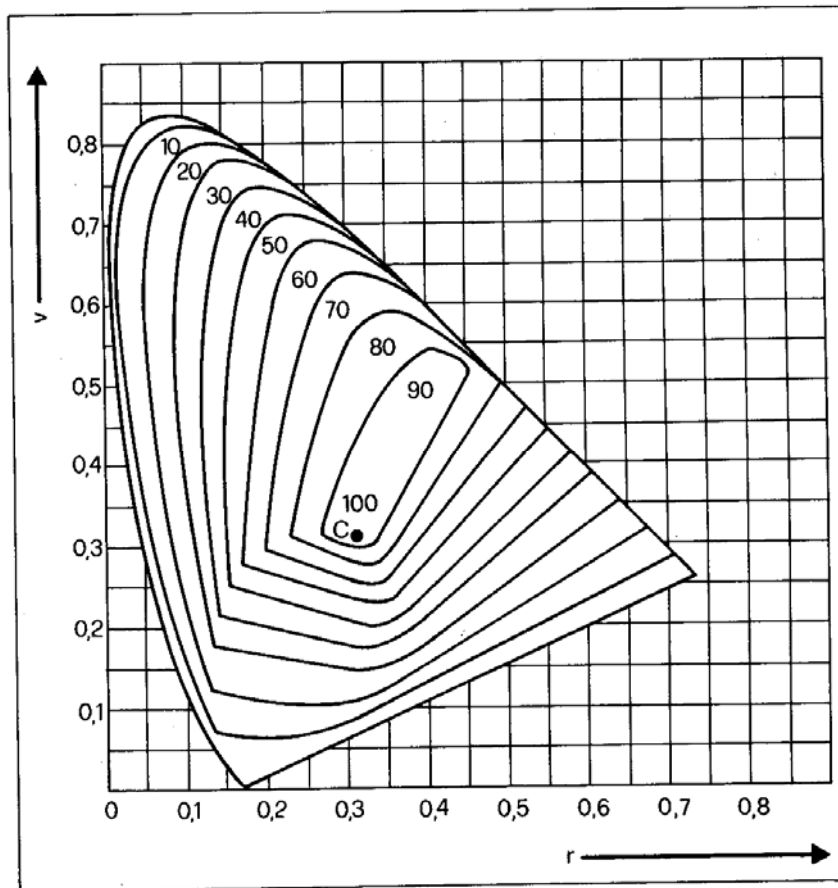


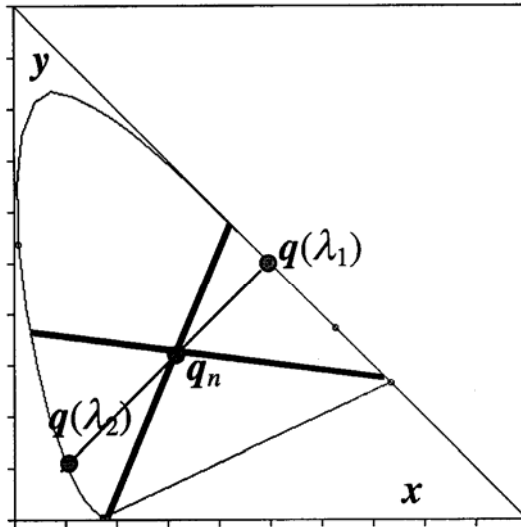
Saturazione (colour purity)



Per questi colori si considera
la lunghezza d'onda complementare

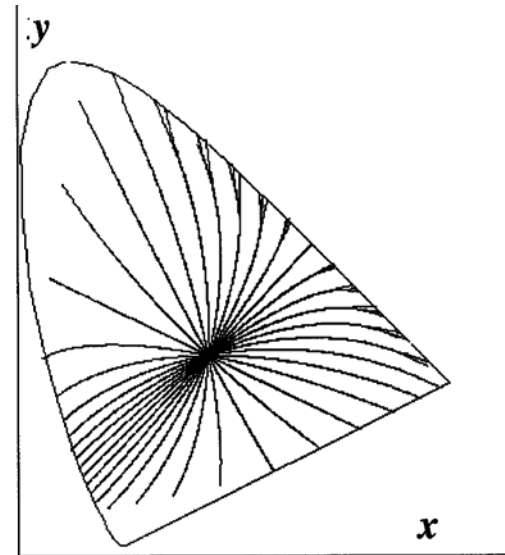
Curve di livello del locus tridimensionale

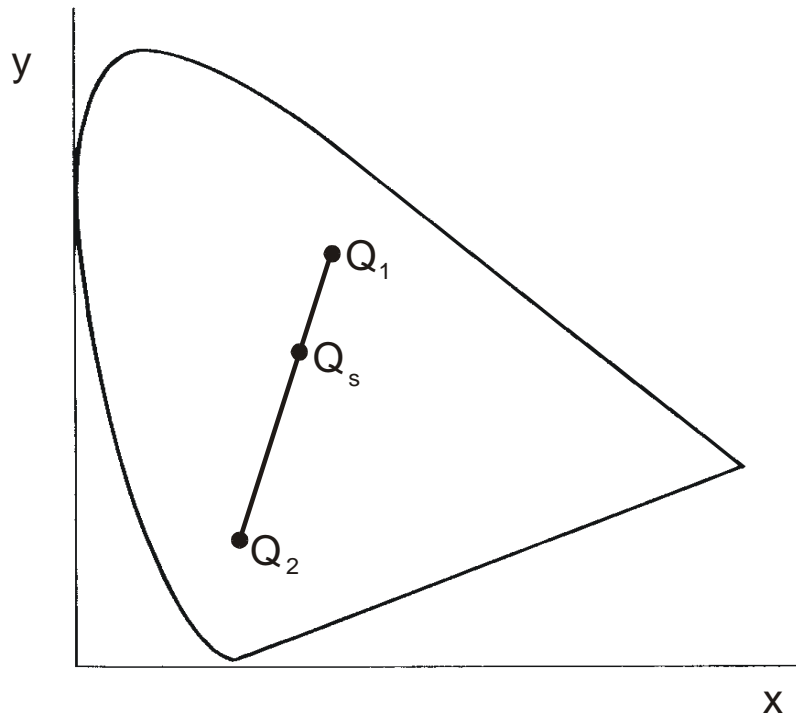




Colori complementari

Curve isocolori (hue)



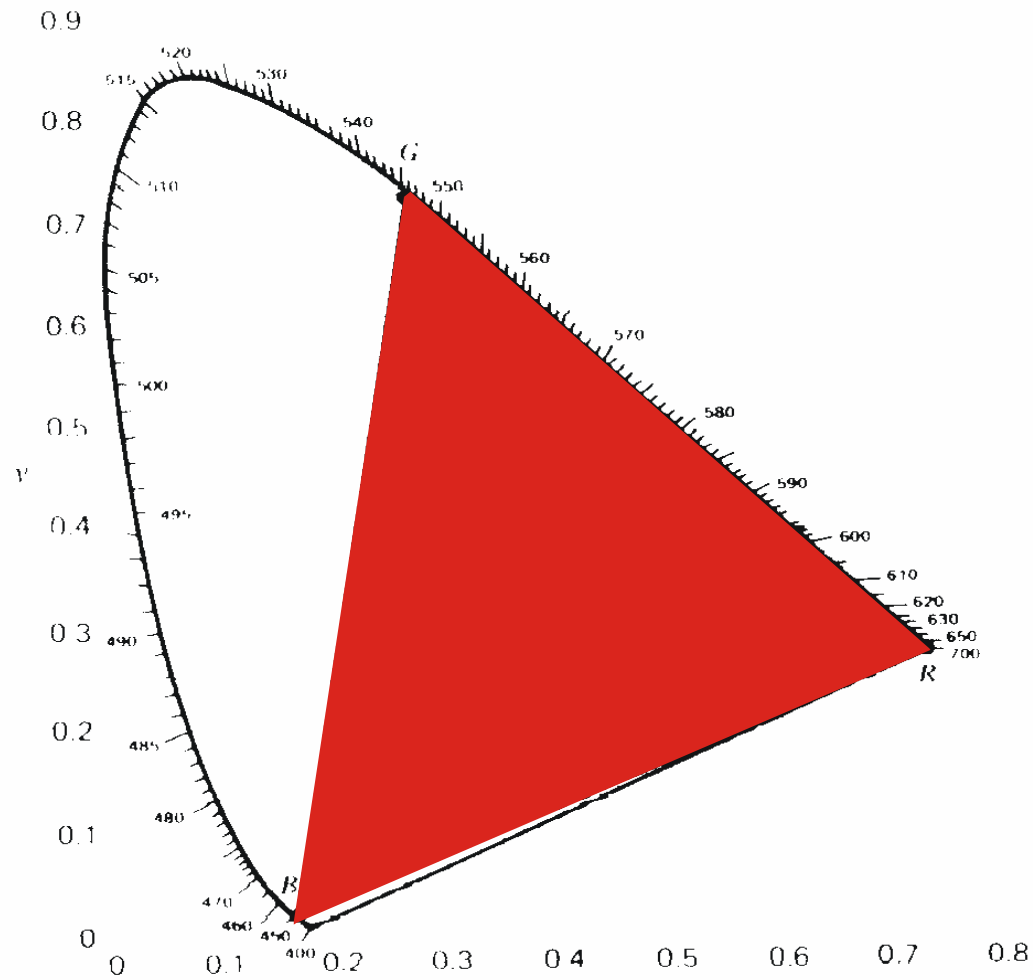


$$x_s = \frac{w_1 x_1 + w_2 x_2}{w_1 + w_2}$$

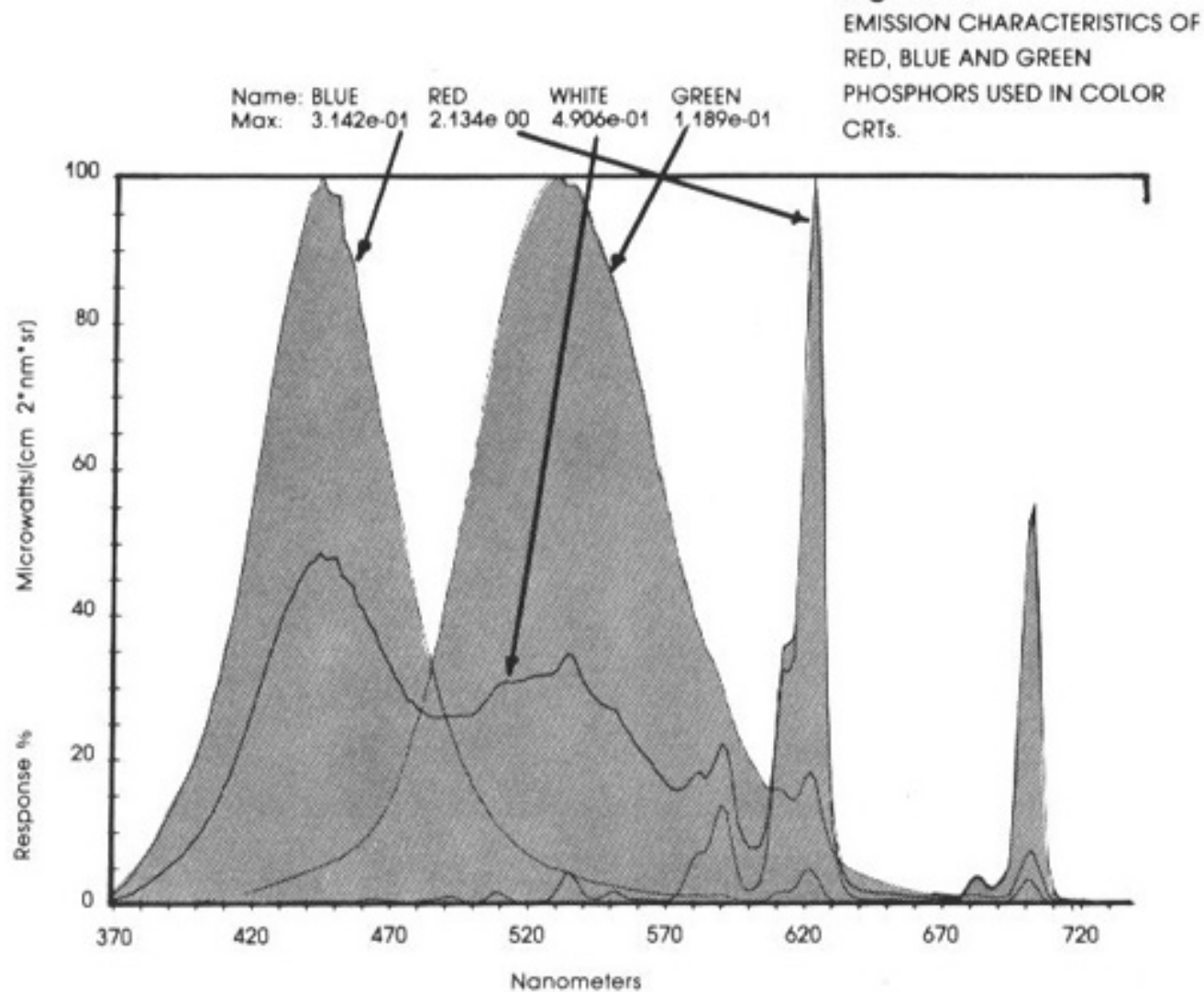
$$y_s = \frac{w_1 y_1 + w_2 y_2}{w_1 + w_2}$$

$$w_i = \frac{1}{X_i + Y_i + Z_i}$$

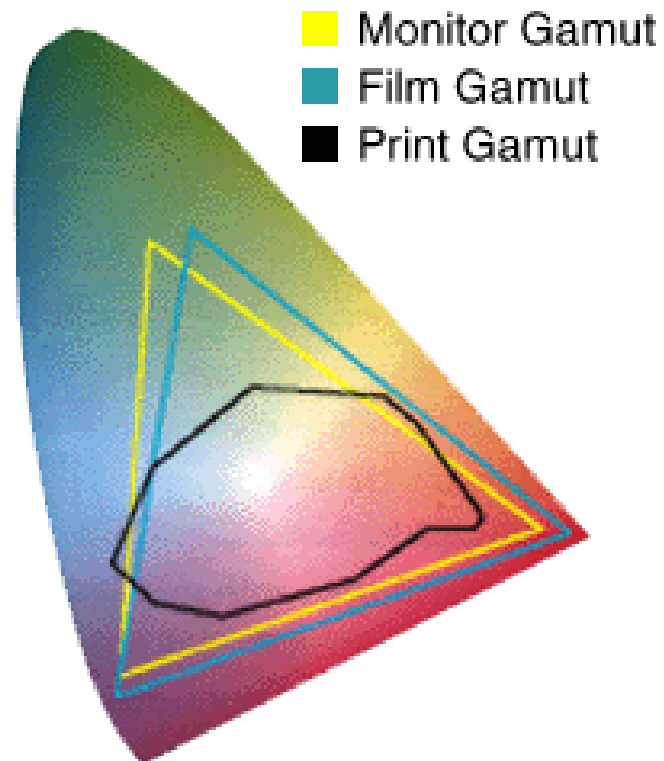
IL GAMUT



Spettri tipici di emissione dei fosfori per CRT

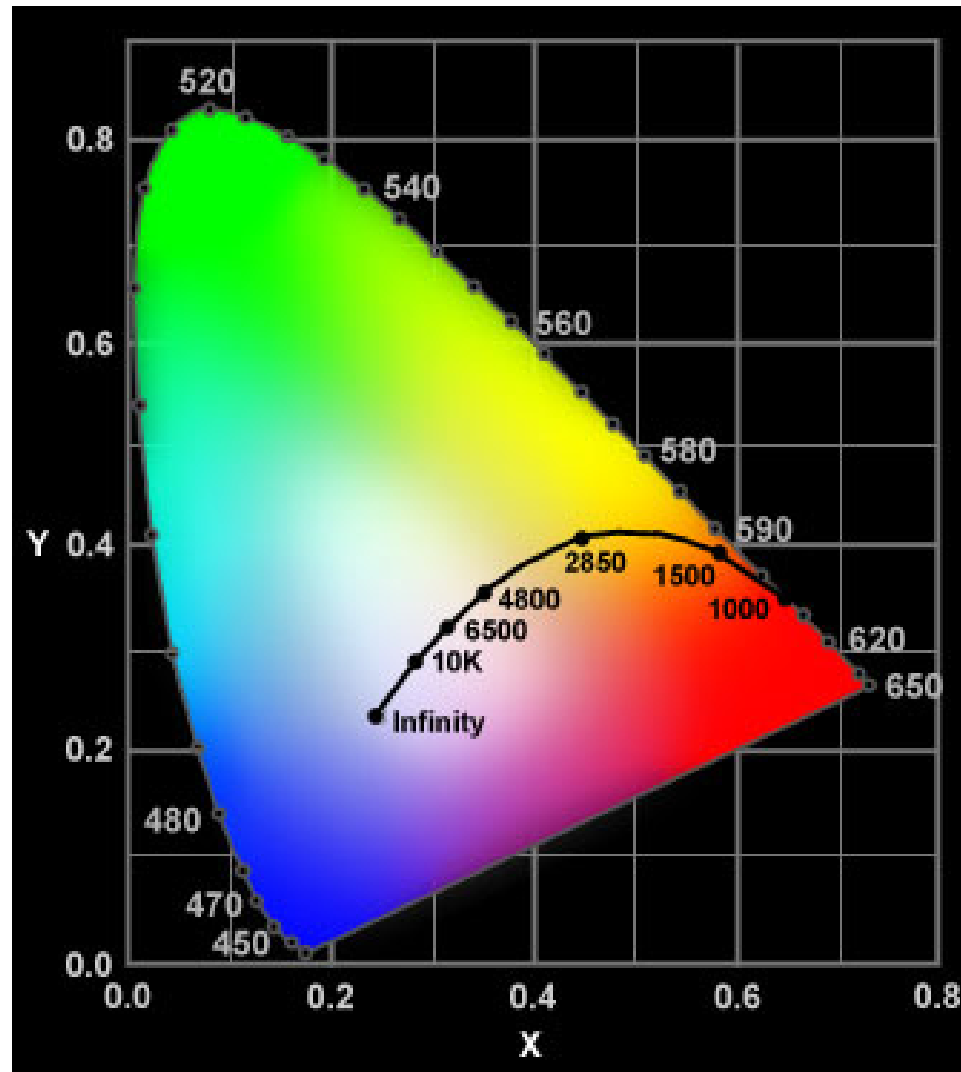


Visable Light Spectrum

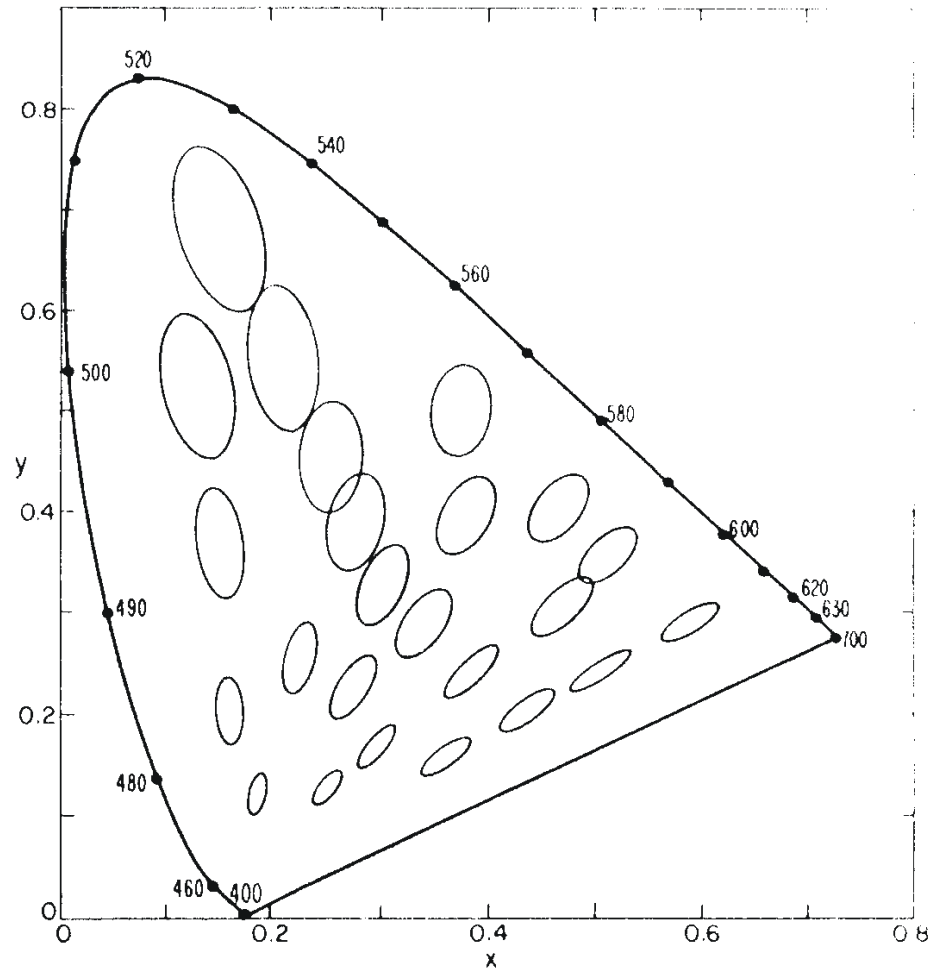


Color gamuts of color monitor,
film and print shown transposed
on the 1931 CIE $x^*y^*z^*$ color space.

Curva del corpo nero



IL PROBLEMA DELLE DIFFERENZE DI COLORE



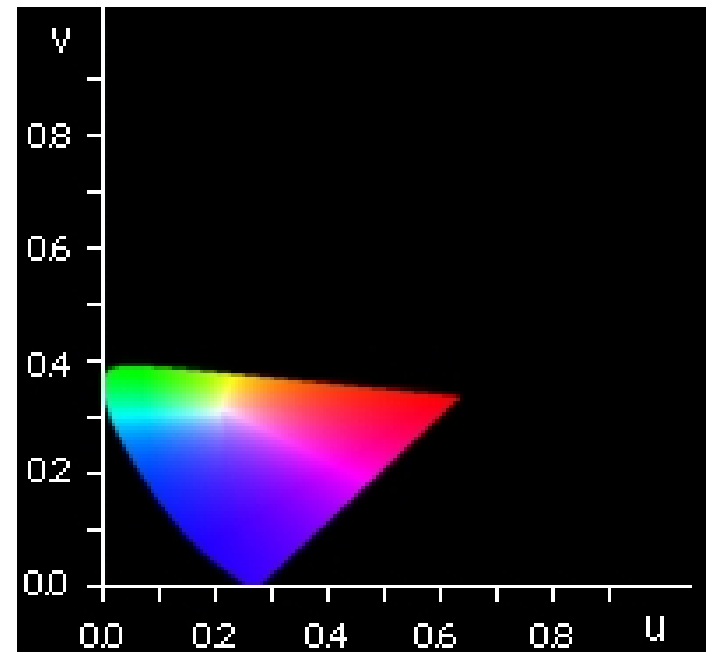
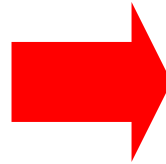
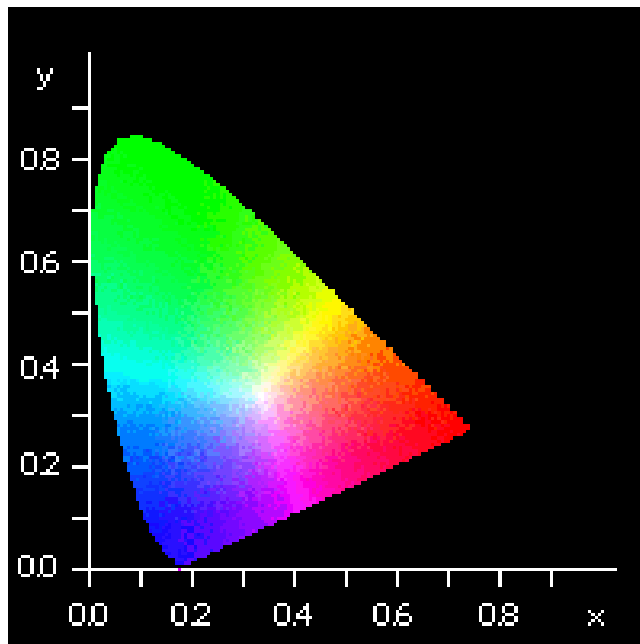
Ellissi JND ingrandite di un fattore 10

CIE 1960 Sistema (u,v,w)

$$u = 4x / (3 - 2x + 12y)$$

$$v = 6y / (3 - 2x + 12y)$$

$$w = (6y - 6x + 3) / (3 - 2x + 12y)$$

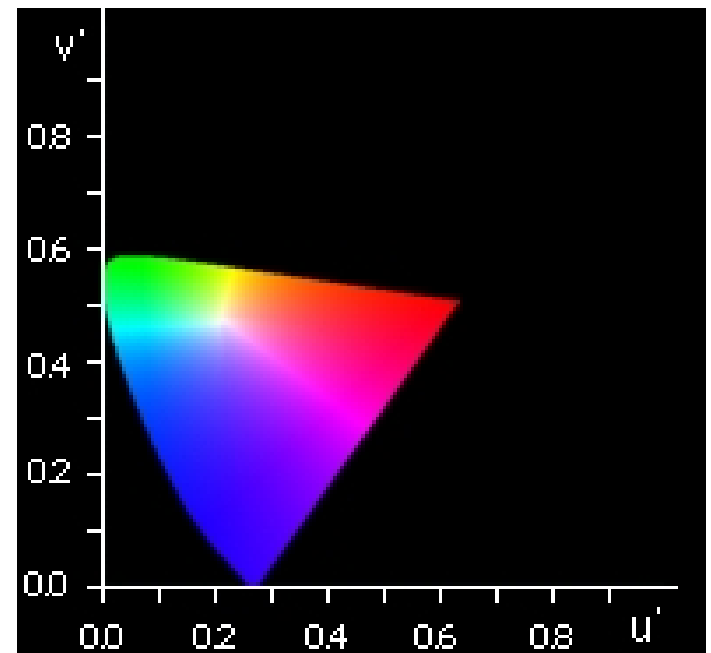
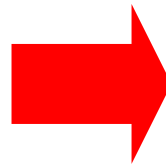
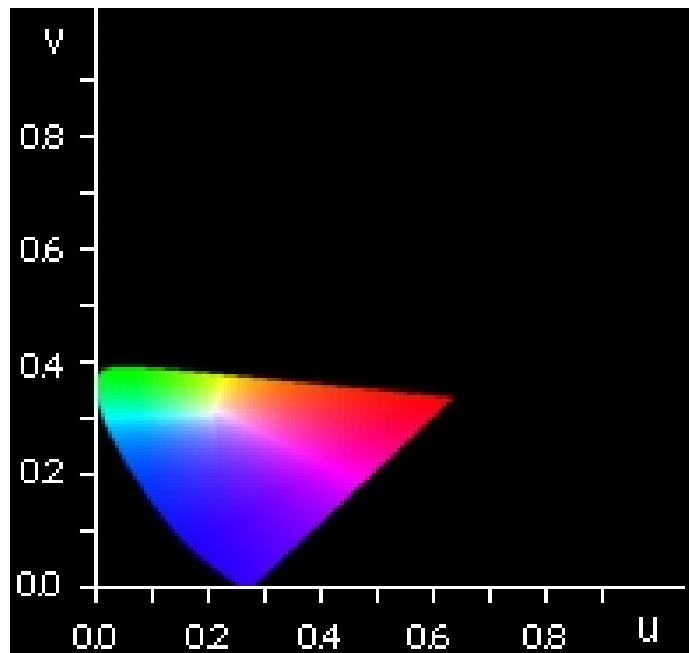


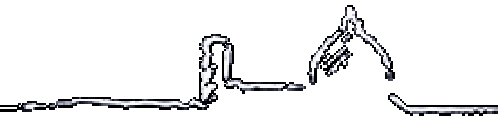
CIE 1976 Sistema (u',v',w')

$$u' = u$$

$$v' = (3/2) v$$

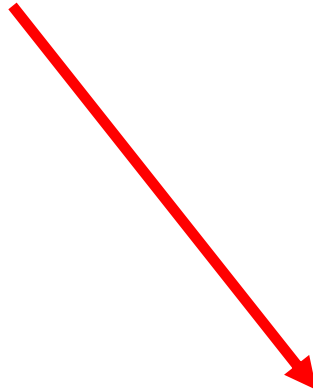
$$w' = w$$





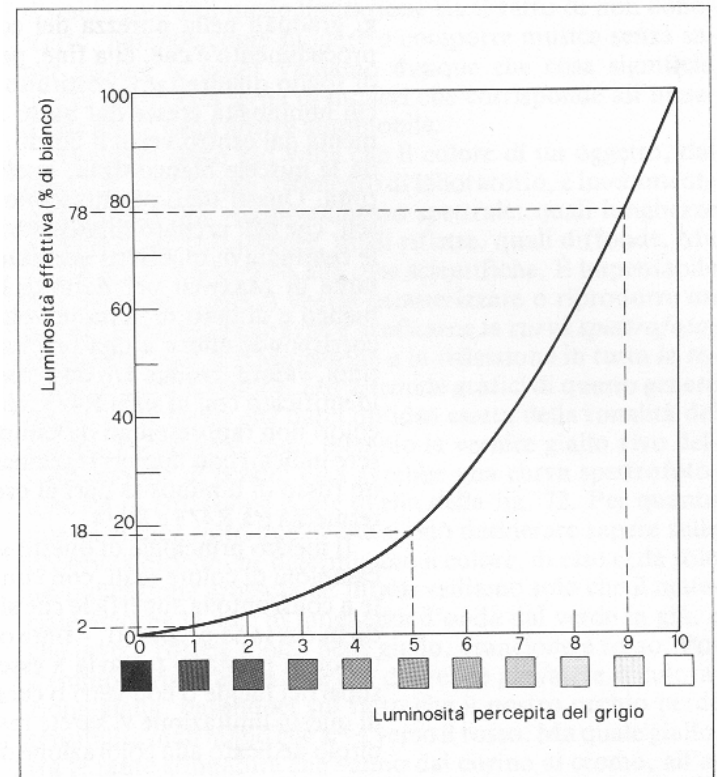
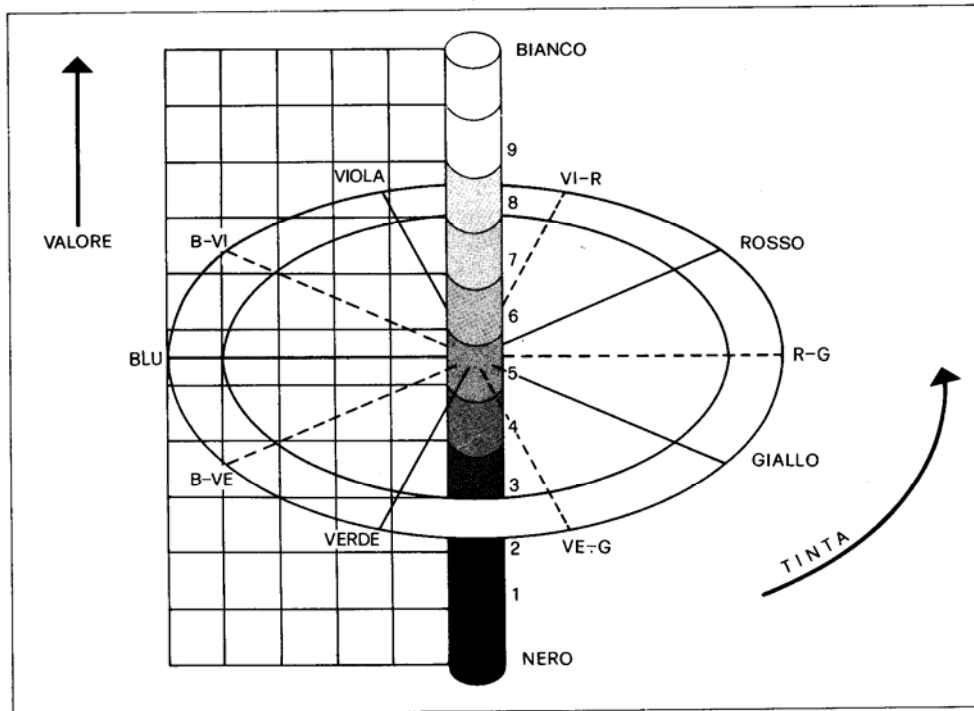
1) Illuminante

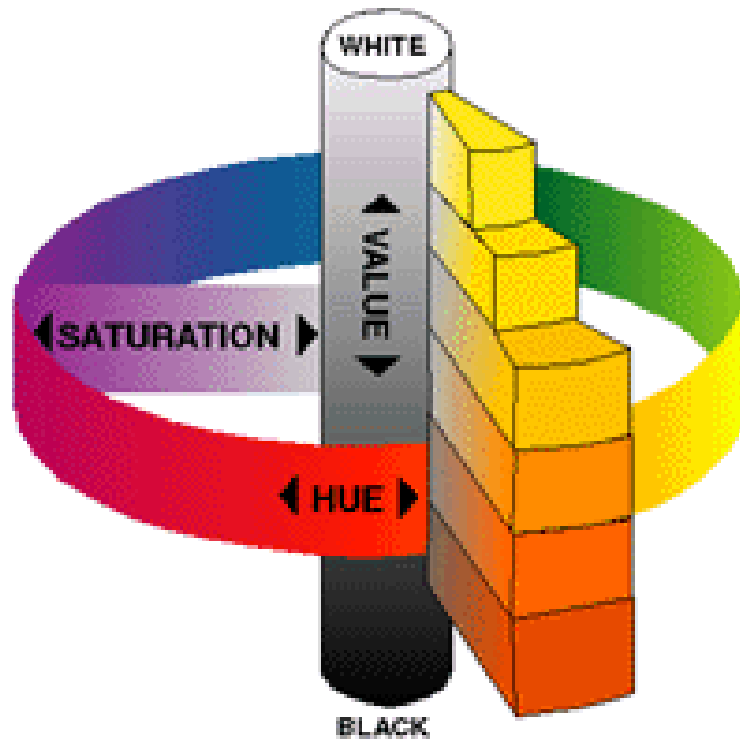
2) Differenze di colore



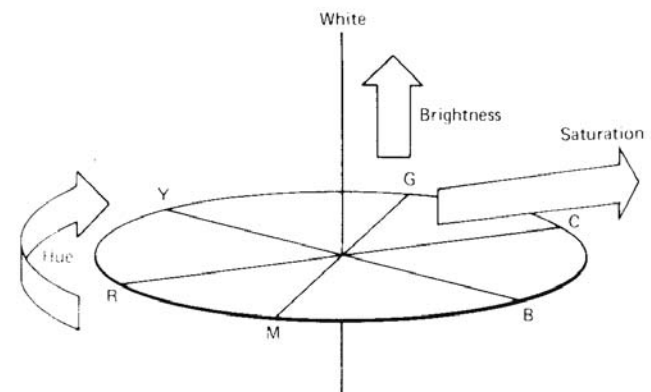
Lo spazio dei colori ora è uno spazio metrico,
ma non uno spazio vettoriale

Atlante dei colori di Munsel 1915-1929





Hue, Saturation and Value Diagram

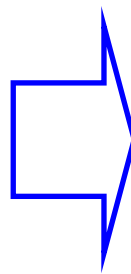




$$X^* = \sqrt[3]{\frac{X}{X_n}} \quad Y^* = \sqrt[3]{\frac{Y}{Y_n}} \quad Z^* = \sqrt[3]{\frac{Z}{Z_n}}$$

$$a = 500 (X^* - Y^*)$$

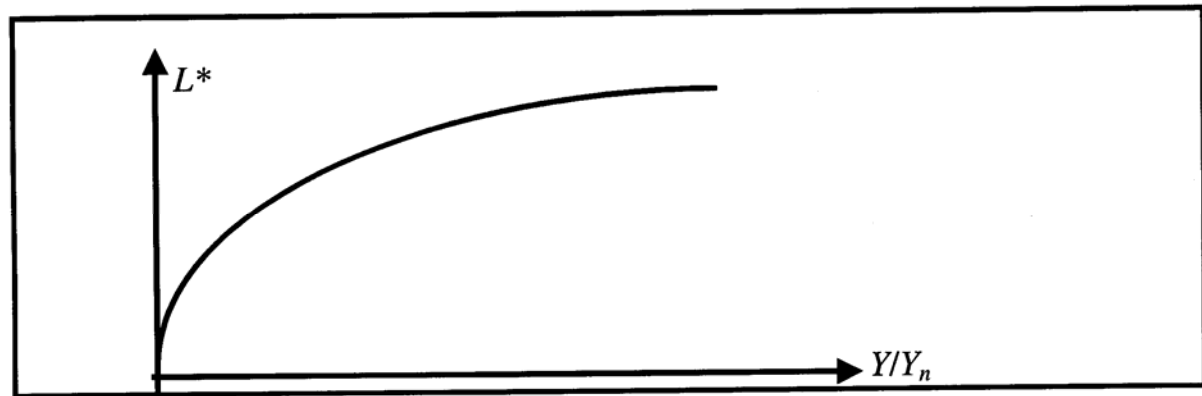
$$b = 500 (Y^* - Z^*)$$



$$C = \sqrt{a^2 + b^2} \quad h = \arctg \frac{b}{a}$$

$$L = 116 Y^* - 16 \quad \text{for } Y^* > 0.008856$$

$$L = 903.3 Y^* \quad \text{for } Y^* < 0.008856$$





$$\Delta E^2 = (a_T - a_R)^2 + (b_T - b_R)^2 + (L_T - L_R)^2$$

$$\Delta E^2 = (\Delta L)^2 + (\Delta C)^2 + (\Delta H)^2$$

$$\Delta L = L_T - L_R$$

$$\Delta C = C_T - C_R$$

$$\Delta H = \sqrt{\Delta E^2 - \Delta L^2 - \Delta C^2}$$



$$\Delta E^2 = (\Delta L)^2 + (\Delta C)^2 + (\Delta H)^2$$

$$\Delta E^2 = \left(\frac{\Delta L}{S_L} \right)^2 + \left(\frac{\Delta C}{S_C} \right)^2 + \left(\frac{\Delta H}{S_H} \right)^2$$

$$S_L = \frac{0.040975L}{1 + 0.01765L}$$

$$S_C = \frac{0.0638C}{1 + 0.0131C} + 0.638$$

$$S_H = \frac{S_C}{Tf + 1 - f}$$

$$T = 0.36 + |0.4 \cos(H + 35)|$$

$$T = 0.36 + |0.2 \cos(H + 168^\circ)|$$
$$164^\circ < H < 345^\circ$$

$$f = \frac{4C}{4C + 1900}$$

$$\Delta E^2 = \left(\frac{\Delta L}{S_L} \right)^2 + \left(\frac{\Delta C}{S_C} \right)^2 + \left(\frac{\Delta H}{S_H} \right)^2$$

$$S_L = 1$$

$$S_C = 1 + 0.045C$$

$$S_H = 1 + 0.015C$$

